

$$\begin{cases} U_2 = \frac{U}{\Delta} = A_{22}U_1 + A_{12} \cdot I_1 = B_{11} \cdot U_1 + B_{12} \cdot I_1 \quad (15.1) \\ I_2 = \frac{\Delta_2}{\Delta} = A_{11}U_1 + A_{21} \cdot I_1 = B_{21} \cdot U_1 + B_{22} \cdot I_1 \quad (15.2) \end{cases}$$

$$B_{11} = A_{22} ; \quad B_{12} = A_{12} ; \quad B_{21} = A_{21} ; \quad B_{22} = A_{11}$$

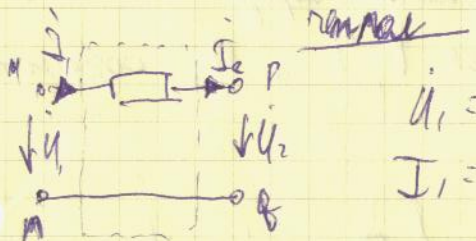
(16.1)      (16.2)      (16.3)      (16.4)

### Симметричный режим.

(17)

Сравним ур-е 15.1 с 15.2. Если  $A_{11} = A_{22}$  - симметрическое соединение, токи в фазах идентичны, то можно исключить напряжение  $U_2$ , а в уравнении останется только  $I_1$ .

### Анализ симметричного режима



$$U_1 = U_2 + Z \cdot I_2$$

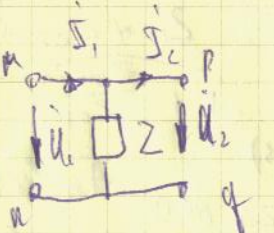
$$I_1 = I_2$$

$$[A] = \begin{bmatrix} 1 & Z \\ 0 & 1 \end{bmatrix}$$

$$[A_{-}] = \begin{bmatrix} 1 & Z \\ 0 & 1 \end{bmatrix} = 1$$

сумм. в 1-ю  
норм. комп.

$$\begin{cases} U_1 = U_2 \\ I_1 = \frac{1}{Z}U_2 + I_2 \end{cases}$$



$$[A_1] = \begin{bmatrix} 1 & 0 \\ \frac{1}{Z} & 1 \end{bmatrix} = 1$$

87

(13) Уравнение для коэф. линейного транс.  
дифф.

Уравнение коэффиц. лин. транс.  
режим симметрии А - режим на примере  
ур-е 1, заменяя на фазу В.

Ур-е В будет иметь тот же вид.  
перевод в энергии от демпфинга, напр.  
ко выбору формул (p, f) & дифференц. (D, n)  
имея. ур-е (1.1) и (1.2)  
с учетом симметричного нап.

$$U_1 = A_{11} \cdot U_2 - A_{12} \cdot I_2$$

$$(14.1) - I_1 = A_{21} \cdot U_2 - A_{22} \cdot I_2$$

В ур-е А приведены  $U_1$  и  $I_1$ ,

таким образом имеем  $U_2$  и  $I_2$

$$D = \begin{vmatrix} A_{11} & -A_{12} \\ A_{21} & -A_{22} \end{vmatrix} = -A_{11} \cdot A_{22} + A_{12} \cdot A_{21} = -1$$

$$D_1 = \begin{vmatrix} U_1 & -A_{12} \\ -I_1 & -A_{22} \end{vmatrix} = -A_{22}U_1 - A_{12} \cdot I_1$$

$$D_2 = \begin{vmatrix} A_{11} & U_1 \\ A_{21} & -I_1 \end{vmatrix} = -A_{11} \cdot I_1 - A_{21} \cdot U_1$$

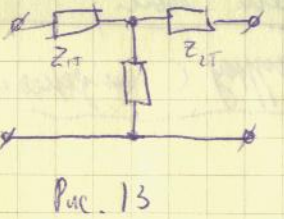


Рис. 13

T и N- симметричные схемы  
помощью симметрии заменя-  
ем. Давайте, что схема  
помощью наст. формулы заменя-

ется симметрическими же, так исходный A-  
состоит, чтобы можно было из этого же симметрии  
извлечь, а Y-и можно поменять из упр. схемы.  
В исходной схеме поменяйте порядок замен.  
можно для T и N- симм. наст.

Параметры зам. наст., чтобы в исходной схеме  
поменя. порядок зам. наст. можно было извлечь  
из 10.1 - 18.4 или 19.1 - 19.4. для pp. схемы

$$Z_{0T} = \frac{1}{A_{11}} ; \quad \frac{Z_{0T} + Z_{1T}}{Z_{0T}} = A_{11},$$

(20.1)

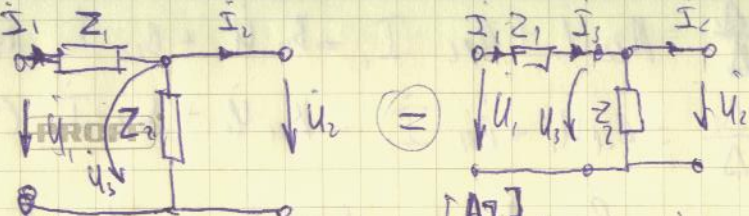
$$Z_{0T} + Z_{1T} = A_{11} Z_{0T};$$

$$Z_{1T} = (A_{11} - 1) Z_{0T} = \frac{A_{11} - 1}{A_{21}} \quad (20.2)$$

$$Z_{2+} = \frac{A_{22} - 1}{A_{21}} \quad (20.3)$$

также из 19.1, 19.2 и 19.3 =>

$$Z_{0N} = A_{12} ; \quad Z_{2N} = \frac{A_{12}}{A_{11} - 1} ; \quad Z_{en} = \frac{A_{12}}{A_{11}} \quad (21.2)$$



$$\begin{bmatrix} U_1 \\ I_1 \end{bmatrix} = [A_{-}] \begin{bmatrix} U_3 \\ I_3 \end{bmatrix} = [A_{-}] [A_1] \begin{bmatrix} U_2 \\ I_2 \end{bmatrix} =$$

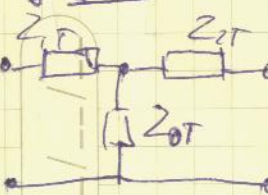
$$[A_{\Gamma}] = [A_{-}] [A_1] = \begin{bmatrix} 1 + \frac{Z_1}{Z_2} & Z_1 \\ \frac{Z_1}{Z_2} & 1 \end{bmatrix}$$

Чемпион не симметрия. Упр. на наст. пис.  
согл. заменяя наст., нея. исходного согл.  
Поменяйте знакомитство симметрии  
исходного A для T и N- симметрических

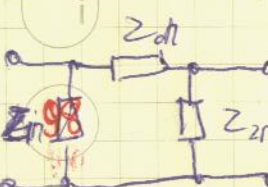
зам. наст.



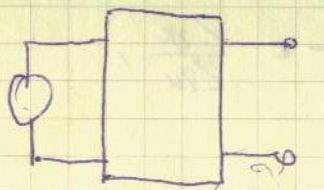
$$[A_{\Gamma}] = \begin{bmatrix} \frac{1}{1 + \frac{Z_1}{Z_2}} & Z_1 \\ \frac{Z_1}{1 + \frac{Z_1}{Z_2}} & 1 + \frac{Z_1}{Z_2} \end{bmatrix} \quad A_{12} (N.2)$$



$$[A_{\Gamma}] = \begin{bmatrix} \frac{1 + \frac{Z_2}{Z_3}}{1 + \frac{Z_2}{Z_3} + \frac{Z_1}{Z_2}} & \frac{Z_2}{1 + \frac{Z_2}{Z_3} + \frac{Z_1}{Z_2}} \\ \frac{Z_1}{1 + \frac{Z_2}{Z_3} + \frac{Z_1}{Z_2}} & 1 + \frac{Z_2}{Z_3} \end{bmatrix} \quad A_{22} (N.2)$$



$$[A_{\Gamma}] = \begin{bmatrix} 1 + \frac{Z_{en}}{Z_{2N}} & Z_{2N} \\ \frac{1}{Z_{2N}} + \frac{1}{Z_{1N}} + \frac{Z_{en}}{Z_{1N} Z_{2N}} & 1 + \frac{Z_{1N}}{Z_{2N}} \end{bmatrix} \quad Z_{0N} (N.2)$$

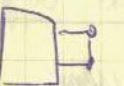


$$Z_{n2} = \infty$$

$$Z_{1X} = \frac{A_{11}}{A_{21}} \quad (23)$$

Определение коэффициентов заземления.

$$(24) \quad Z_{1K} = \frac{A_n}{A_{12}}$$



- заземл.  $Z_{nL} = 0$

3) Ост. заземлен. кирпич.

$$Z_{2X} = \frac{A_{22}}{A_{21}} \quad (25)$$

4) Ост. независим. заземл.

$$Z_{2K} = \frac{A_{12}}{A_n} \quad (26)$$

Проверка коэффициента А заземл.

$$\frac{Z_{1K}}{Z_{2K}} = \frac{\frac{A_n}{A_{12}}}{\frac{A_{22}}{A_{21}} = \frac{A_n}{A_n}} = A_n^2$$

$$A_n = \sqrt{\frac{Z_{1X}}{Z_{2X} - Z_{2K}}} \quad R8.17$$

У 23.26 следим

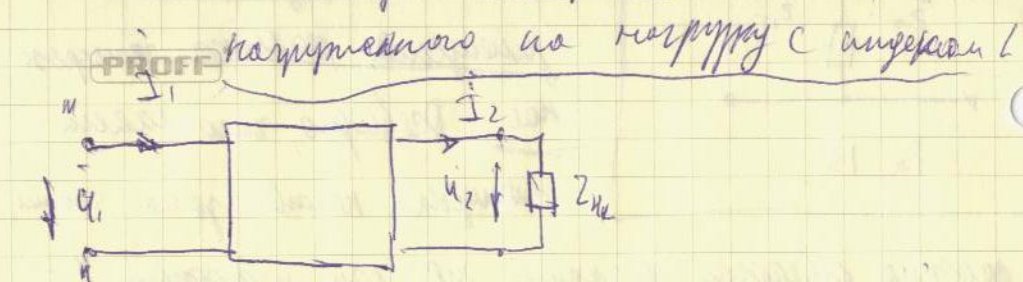
$$A_{21} = \frac{A_n}{Z_{1X}} \quad ; \quad A_{11} = \cancel{A_n} \quad A_{11} \cdot Z_{2K} \quad (22.3)$$

$$(28.2) \quad (28.3)$$

$$A_{22} = \frac{A_n}{Z_{1X}} = A_n \frac{Z_{2K}}{Z_{1X}} \quad (28.4)$$

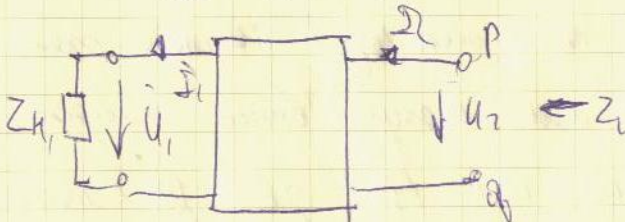
101

Бюджетная комп. зем. нал.



$$Z_1 = \frac{u_1}{I_1} = \frac{A_n \cdot u_n + A_{12} \cdot I_2}{A_{21} \cdot u_1 + A_{22} \cdot I_2} = A_n + A_{12} \frac{u_2}{I_2} = \frac{A_{12} + A_n Z_K2}{A_{22} + A_{21} Z_K2}$$

$$= \frac{A_{12} + A_n Z_K2}{A_{22} + A_{21} Z_K2}$$



$$Z_2 = \frac{u_2}{I_1} = \frac{B_{12} + B_n Z_{11}}{B_{22} + B_{21} Z_{11}} \quad (21.2)$$

Определение А заземл. кирпича заземления  
когда заземл. в землю как заземление

Определение А заземл. заземления

100 необходимых схем - приведено  
вот кирпич.

$$\begin{aligned} U_1 &= A_{11} \cdot U_2 + A_{12} \cdot I_2 = U_2 \left( A_{11} + A_{12} \frac{I_2}{U_2} \right) = U_2 \left( A_{11} + A_{12} Z_2 \right) \\ &= U_2 \left( A_{11} + A_{12} \frac{1}{\sqrt{A_{11} A_{22}}} \right) = U_2 \left( A_{11} + \sqrt{A_{12} \cdot A_{21}} \right) = U_2 e^j \theta = U_2 e^j \end{aligned}$$

Две амплитуд. врем., котр. не складываются  
сопротивл.  $Z_c$

$$I = A_{21} U_2 + A_{12} I_2 = \dots = I_2 (A_{11} + \sqrt{A_{12} \cdot A_{21}}) =$$

$$= I_2 e^j = I_2 e^{j\psi_b},$$

$$A_{11} + \sqrt{A_{12} \cdot A_{21}} = e^j \theta.$$

$$\theta = \ln (A_{11} + \sqrt{A_{12} \cdot A_{21}})$$

$$\begin{cases} U_1 = U_2 e^j, \\ I_1 = I_2 e^j \end{cases}$$

$$\begin{aligned} U_1 e^{j\psi_1} &= U_2 e^{j\psi_2} \\ U_1 e^{j\psi_1} &= U_2 e^{j\psi_2} \cdot e^{j\theta} = U_2 e^{j(\psi_2 + \theta)} \end{aligned}$$

$$\psi_1 = \psi_2 + \theta$$

$$\psi_1 = \psi_2 + b$$

Величина  $a$ , характеризующая сопротивление при прохождении реальной компоненты напряжения и не содержит гармоник временных

Величина  $b$ , котр. не зависит от сопротивления  $A_{11}$  и  $A_{22}$ , определяет не гармон.  $A_{12}$  и  $A_{21}$ .

$$\frac{Z_{1K}}{\sum_{1K}} = \frac{\frac{A_{11}}{A_{21}}}{\frac{A_{11} + A_{12}}{A_{11} \cdot A_{22}}} = \frac{A_{11}}{A_{11} + A_{12}} = \frac{Z_{1K}}{Z_{2K}},$$

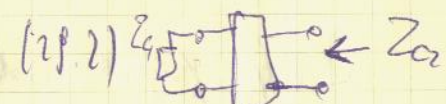
Суммарн. сопротивление

Дополнительн. сопротивление

Две модули несущих врем. напр. напр. сопротивл.  $Z_{11}$  и  $Z_{22}$ , где врем. сдвиги постоянны.

$$Z_{C1} = \frac{A_{12} + A_{11} Z_{22}}{A_{22} + A_{11} Z_{22}}$$

$$Z_{C2} = \frac{A_{21} + A_{22} Z_{11}}{A_{11} + A_{22} Z_{11}}$$



$$Z_{C1} = \sqrt{\frac{A_{11} A_{22}}{A_{12} A_{21}}}$$

$$(30.1)$$

$$Z_{C2} = \sqrt{\frac{A_{22} \cdot A_{11}}{A_{12} \cdot A_{21}}} \quad (30.2)$$

$$Z_c = \sqrt{Z_{1K} C_{1K}}$$

$$Z_{C2} = \sqrt{Z_{2K} C_{2K}}$$

△ кратное сопротивление  $Z - X$  несущ., равн.

$$Z_{C1} = Z_{C2} = Z_c = \sqrt{\frac{A_{11}}{A_{11}}}$$

Соединенное сопротивление  
одинаков. врем. напр.

Все схемы замкнуты параллельно нагрузке.

$$f = \ln \left( A_{11} + \sqrt{A_{11}A_{21}} \right)$$

$$e^f = A_{11} + \sqrt{A_{11}A_{21}}$$

$$e^{-f} = \frac{1}{e^f} = \frac{1}{A_{11} + \sqrt{A_{11}A_{21}}}$$

$$\operatorname{ch} f = \frac{1}{2} \left( A_{11} + \sqrt{A_{11}A_{21}} + \frac{1}{A_{11} + \sqrt{A_{11}A_{21}}} \right) =$$

$$= \frac{1}{2} \left( \frac{A_{11}^2 + 2A_{11}\sqrt{A_{11}A_{21}} + A_{11}A_{21} + 1}{A_{11} + \sqrt{A_{11}A_{21}}} \right) =$$

$$= \frac{1}{2} \left( \frac{2A_{11}^2 + 2A_{11}\sqrt{A_{11}A_{21}}}{A_{11} + \sqrt{A_{11}A_{21}}} \right) - A_{11}$$

$$\operatorname{sh} f = \sqrt{A_{11}A_{21}} \quad \text{и в этом } Z_c = \sqrt{\frac{A_{12}}{A_{21}}}$$

$$Z_c \operatorname{sh} f = A_{11}$$

$$Z_c \operatorname{ch} f = A_{21}$$

$$\begin{cases} U_1 = U_2 \operatorname{ch} f + I_2 Z_c \operatorname{sh} f \\ i_1 = U_2 \frac{\operatorname{sh} f}{Z_c} + I_2 \operatorname{ch} f \end{cases}$$

Формулы для компоновки:

Для параллельных схем замкнутых бинодиодов между источниками тока и нагрузкой, токи в параллельных ветвях одинаковы.

изображают потенциалы двух краев короткого замыкания.

Формулы для первых переходов замкнуты.

Формулы для первых переходов замкнуты.

Записанные схемы, где приведены формулы.

Замкнутые схемы, где приведены формулы.

Замкнутые схемы, где приведены формулы.

$$\alpha_{Hn} = \frac{1}{2} \ln \frac{S_1}{S_2} \quad ; \quad \alpha_B = \lg \frac{S_1}{S_2} \quad (37) \quad (38)$$

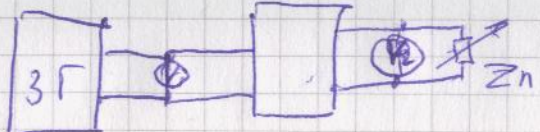
$$\text{Если замкнутые схемы на диодах коротким } Z_c \text{ из} \\ \text{формул (37) и (38)} \Rightarrow \alpha_{Hn} = \frac{1}{2} \ln \frac{\frac{U_1}{U_2}}{\frac{Z_c}{Z_c}} =$$

$$= \frac{1}{2} \ln \left( \frac{U_1}{U_2} \right)^2 = \ln \frac{U_1}{U_2}$$

$$\alpha_B = 2 \lg \frac{U_1}{U_2}$$

$\frac{U_1}{U_2}$	2,718 (e)	10	20	100
$\alpha_{Hn}$	1	2,5	3	4,6
$\alpha_B$	0,868	2	2,6	4
$\alpha_{B5}$	8,68	20	26	40

Уравнение схемы замкнутой параллельной  
составлено из  
одинаковых



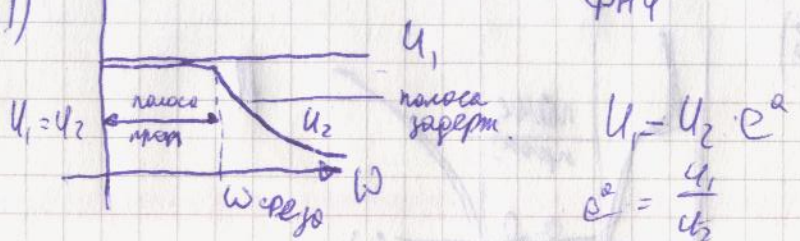
$$Z_1 = Z_2$$

PROFF

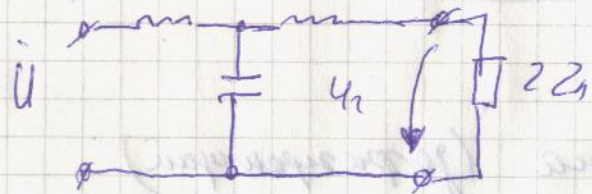
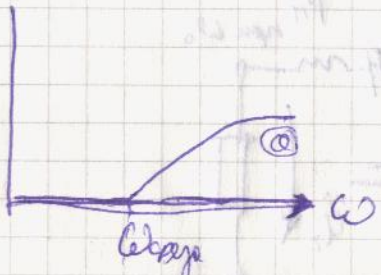
$\omega$  неизм от 0

$z_0 \infty$

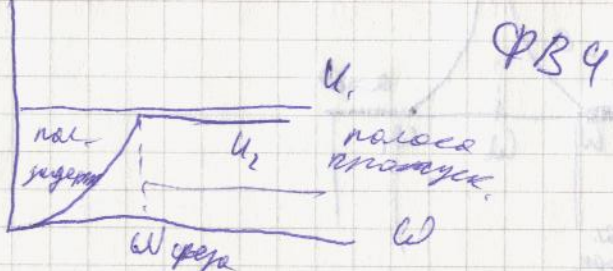
1)



$$\alpha = \ln \frac{U_1}{U_2}$$



2)



Расчеты (для проверки или с  
результатом) пропуска и приемника,  
начиная с фильтром может быть  
расчетом и для подтверждения или в целях  
затруднений может быть расчетом.

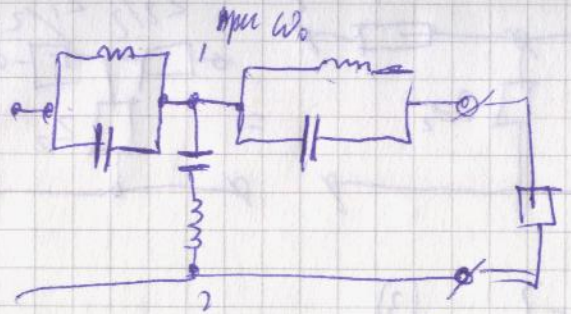
Умодр не формул. Конспект электрик, а с  
взаимодействием из расчетов зл-мод

Принципиал: переходы обмоток, параметрические  
таки, где есть разрешение засечки.

Конспект расчета LC фильтра низкого и  
высокочастотного. Фильтр по  
засечкам.

Последнее расчетом, пропуск фильтра для  
результатов или с некоторым засечкой,  
когда находит пропорциональность (пропускание),  
единственное значение - одна из засечек

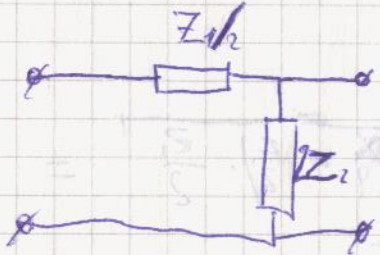
- 1) Равнопрочный критерий расчетом
- 2) Равнопрочный в блоках расчетом
- 3) Полосовой фильтр
- 4) Дифракционные фильтры.



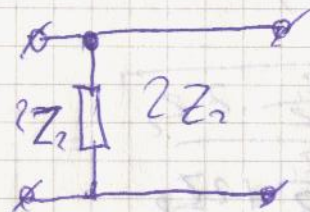
PROFF

Схемы обобщенные  $\Gamma$ ,  $T$ ,  $\Pi$ , гибким.  
и подр. фильтров

Задачи на нахождение схемы  $\Gamma$ -офф фильтров



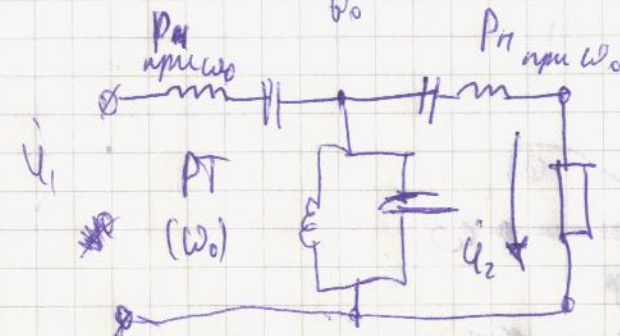
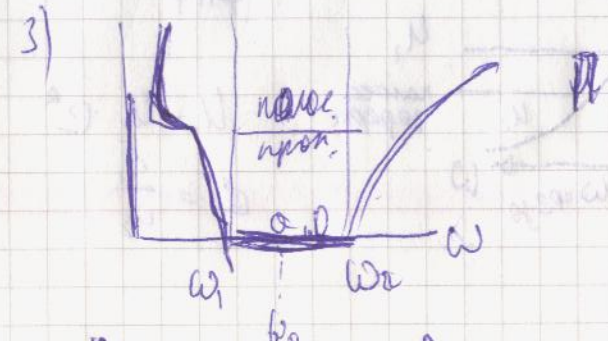
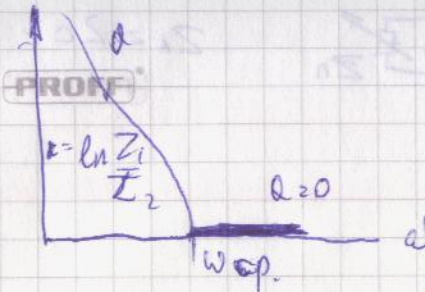
$$[A_T] = \begin{vmatrix} 1 + \frac{Z_1}{4Z_2} & \frac{Z_1}{2} \\ \frac{1}{2Z_2} & 1 \end{vmatrix}$$



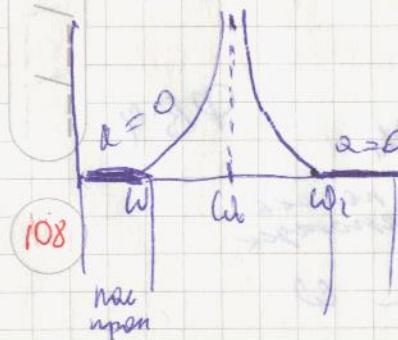
$$[A_\Gamma] = \begin{vmatrix} 1 & \frac{Z_1}{Z_2} \\ \frac{1}{2Z_2} & 1 + \frac{Z_1}{4Z_2} \end{vmatrix}$$

Тип  $\Pi$  офф. фильтров можно вывести из  
каскадного соч. Гоф. тем нал.

109



4) Резонансная (затухающая)



$$Z_{CIT} = Z_{CIT} = \sqrt{Z_1 Z_2} \cdot \sqrt{1 + \frac{Z_1}{4Z_2}} \quad (6.3)$$

Detacating  $T$  u  $\Gamma$  removal, with. seeing  
factor of  $z$  between, which becomes. you. can,

$$\begin{aligned} \text{mo } Z_{CIT} &= Z_{CIT} \\ Z_{CIT} &= Z_{CIT} \\ &= \sqrt{Z_1 Z_2} \sqrt{1 + \frac{Z_1}{4Z_2}} \quad (7) \end{aligned}$$

$Z_{CIT}$

Monofrequency, removal

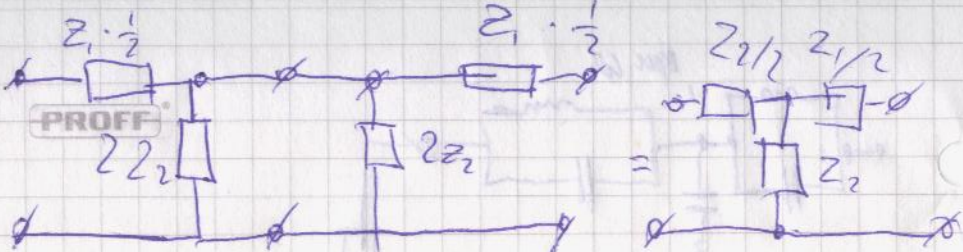
$$\begin{aligned} j\frac{1}{2} &= \frac{\alpha}{2} + j\frac{\beta}{2} = \ln \left( \sqrt{A_{11} A_{22}} + \sqrt{A_{12} \cdot A_{21}} \right) = \\ &= \ln \left( \operatorname{ch} j\frac{1}{2} + \operatorname{sh} j\frac{1}{2} \right); \quad (8) \end{aligned}$$

$$e^{j\frac{1}{2}} = \sqrt{A_{11} A_{22}} + \sqrt{A_{12} A_{21}} = \operatorname{ch} j\frac{1}{2} + \operatorname{sh} j\frac{1}{2} \quad (10)$$

$$\operatorname{ch} j\frac{1}{2} = \sqrt{A_{11} A_{22}} = \sqrt{1 + \frac{Z_1}{4Z_2}} \quad (11)$$

$$\operatorname{sh} j\frac{1}{2} = \sqrt{A_{12} A_{21}} = \sqrt{\frac{Z_1}{4Z_2}} \quad (12)$$

U. u.  $T$  u  $\Gamma$  rem. not. expressed with  
same factor.  $\Gamma$  present, no  $j\omega$  repre.



$$[A_T] = [A_I][A_T] \quad (3)$$

$$[A_I] = [A_T][A_I] \quad (4)$$

$$Z_{CIT} = \sqrt{Z_{1x} \cdot Z_{1x}} = \sqrt{\frac{\alpha}{2} \cdot \frac{\alpha}{2}} \cdot \frac{Z_1}{2} =$$

$$= \sqrt{Z_1 Z_2} \sqrt{1 + \frac{Z_1}{4Z_2}}; \quad (5.1)$$

$$Z_{CIT} = \sqrt{Z_{2x} Z_{2x}} = \sqrt{2Z_2 \cdot \frac{\frac{Z_1}{2} \cdot 2Z_2}{\frac{Z_1}{2} + 2Z_2}} =$$

$$= \frac{\sqrt{Z_1 Z_2}}{\sqrt{1 + \frac{Z_1}{2Z_2}}}$$

6.1  $Z_1 = C_{1T} = Z_{CIT} = \frac{\sqrt{Z_1 Z_2}}{\sqrt{1 + \frac{Z_1}{4Z_2}}}$

Параллельные промиворные  $\Rightarrow$  паралл. зам.  
нар. не для. ~~для~~ для

**PROFF**

Когда покажем, что для т. сб-ки одн. зам нар. с паралл. comp.

$$Z_1 = \pm j X_1 \quad Z_2 = \pm j X_2$$

Закон пропорциональности

а) расп. фаза фильтра в наим. раб.  
и б) наим. раб. фазы.

### Периодические несинусоид. токи в

эл. цепях

Введение: в эл. системах прописано  
специальное первое преобразв. синусоид  
периодич. токов и напр.

В цепях эл. схем, в эл.

относ. синусоид. токов одни  
самые подр. различия

Период. не-синус. токи в эл.  
цепях. в кас. различиях (или их  
комбинац.).

113

форм Т и Р зем. Второе обще в потре  
~~PROFF~~ +jl

Частотные размножатели

Прическим, что зам. нар. и. оных амплитуд

одных элементов не имеют общих фильтров

$$Z_1 = \pm j X_1 \quad \sqrt{\frac{Z_1}{4X_2}} = \sqrt{\frac{\pm j X_1}{\pm j 4X_2}} = \sqrt{\frac{X_1}{4X_2}}$$

$$Z_2 = \pm j X_2$$

$$sh = \frac{e^{j\alpha_2} - e^{-j\alpha_2}}{2} = \frac{e^{\alpha_2 j\beta_{12}} - e^{-\alpha_2 j\beta_{12}}}{2} = \\ = e^{\alpha_2 j\beta_{12}} (\cos \beta_{12} + j \sin \beta_{12}) - e^{-\alpha_2 j\beta_{12}} (\cos \beta_{12} - j \sin \beta_{12})$$

$$= \cos \beta_{12} \frac{e^{\alpha_2 j\beta_{12}} - e^{-\alpha_2 j\beta_{12}}}{2} + j \sin \beta_{12} \frac{e^{\alpha_2 j\beta_{12}} + e^{-\alpha_2 j\beta_{12}}}{2} =$$

$$= sh \alpha_2 j \cos \beta_{12} + j ch \alpha_2 j \sin \beta_{12} =$$

$$= \sqrt{\frac{X_1}{4X_2}} + j 0 \quad ch \alpha_2 j \sin \beta_{12} = 0$$

$$sh \alpha_2 j \cos \beta_{12} = \pm \sqrt{\frac{X_1}{4X_2}} \quad (14.1)$$

В наим. пред.  $q - p_m \frac{a}{2} = 0$ , тогда

$$ch \alpha_2 j = 1$$

112

$$A_0 = \frac{1}{2\pi} \int_0^{2\pi} f(\omega t) d\omega t ;$$

$$A'_k = \frac{1}{\pi} \int_0^{2\pi} f(\omega t) \sin k\omega t d\omega t ;$$

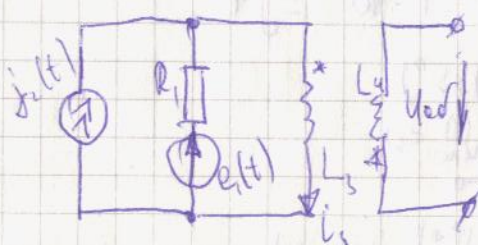
$$A''_k = \frac{1}{\pi} \int_0^{2\pi} f(\omega t) \cos k\omega t d\omega t$$

PROFF

$$A_k \sin k\omega t + A''_k \cos k\omega t = A_k \sin (\omega t + \Psi_k)$$

$$A_k = \sqrt{(A'_k)^2 + (A''_k)^2} \quad \operatorname{tg} \Psi_k = \frac{A''_k}{A'_k}$$

$$\begin{aligned} f(\omega t) &= A_0 + A_1 \sin(\omega t + \Psi_1) + A_2 \sin(2\omega t + \Psi_2) + \dots + \\ &+ A_k \sin(k\omega t + \Psi_k) \end{aligned}$$



$$j_s(t) = 5 \cos 1000t \text{ A}$$

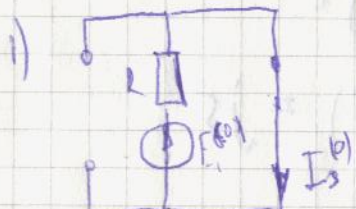
$$e_1(t) = 3 + 6 \sin 1000t \text{ V}$$

$$R_1 = 3 \Omega \quad M = 1 \mu \text{H}$$

$$L_2 = 3 \mu \text{H}$$

Тип первичного аналога изображение

Первичное изображение может быть изображено



$$I_3^{(0)} = \frac{E_1}{R_1} = 1 \text{ A}$$

115

1) ампл. компонент; Изображение в единицах, а  
коэффициент пропорциональности ненужна.

2) Компоненты всем периодам, а период не нужен.

3) Компоненты всем периодам, а период не нужен.  
и период нужен только время.

Пример изображение функции  
периодической функции

изображение периодической функции f(x), где  
 $x = \omega t$  с периодом  $T = 2\pi$  можно представить.

6) периодическая

$$\begin{aligned} f(x) &= f(\omega t) = A_0 + A'_1 \sin \omega t + A''_1 \sin 2\omega t + \\ &+ \dots + A'_k \sin k\omega t + \dots \end{aligned}$$

$$+ A''_1 \cos \omega t + A''_2 \cos 2\omega t + \dots$$

A<sub>0</sub> - нестат. компонент

A'\_k - ампл. одинак. состав. 1-й, 2-й, 3-ий,

и т.д. состав.

A''\_k - ампл. одинак. состав.

$$I_{3m}^{(2)} = j I_{2m}^{(2)} = \frac{R_1}{R_1 + j X_{L3}^{(2)}} = j 5 \cdot \frac{3}{3+j6} = 2,23 \cdot e^{j26,6}$$

$$U_{ab}^{(1)} = \cancel{j 1000 \sin(1000t - 135^\circ)} - I_{3m}^{(2)} j X_m^{(2)} = -2,23e^{j26,6}$$

$$j 2 = -4,46 e^{j16,6} = 4,46 e^{-j63,4}$$

$$U_{ab}^{(2)} = 4,46 \sin(2000t - 63,4^\circ)$$

Ambem.  $I_3 = I_3^{(0)} + i_3^{(1)} + i_3^{(2)} = 1 + 1,41 \sin(1000t - 45^\circ) + 2,23 \sin(2000t + 26,6^\circ)$

$$U_{ab} = U_{ab}^{(0)} + U_{ab}^{(1)} + U_{ab}^{(2)} = 1,41 \sin(1000t - 135^\circ) + 4,46 \sin(2000t - 63,4^\circ)$$

$$(2000t - 63,4^\circ)$$

Линейное звено с активной и

активной индуктивной нагрузкой

$$i = I_0 + I_{1m} \sin(\omega t + \psi_{11}) + I_{2m} \sin(2\omega t + \psi_{12}) + \dots$$

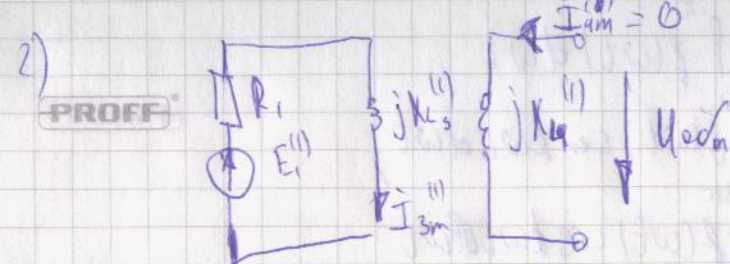
$$u = U_0 + U_{1m} \sin(\omega t + \psi_{11}) + U_{2m} \sin(2\omega t + \psi_{12}) + \dots$$

$$I = \sqrt{\frac{1}{T} \int_0^T i^2(t) dt}$$

$$I_K = \frac{I_{km}}{\sqrt{2}}$$

$$I = \sqrt{I_0^2 + I_{1m}^2 + \dots + I_K^2 + \dots}$$

$$U = \sqrt{U_0^2 + U_{1m}^2 + \dots + U_K^2 + \dots}$$



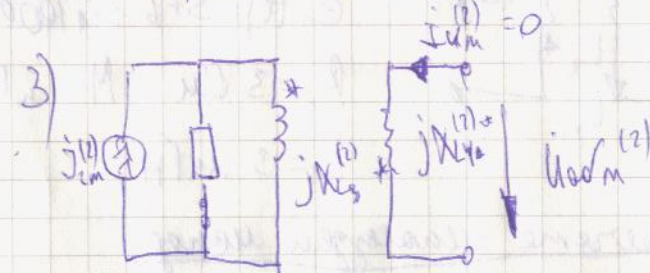
$$E_{1m}^{(1)} = 6 \cdot e^{j0} = 6$$

$$\begin{aligned} j X_{L3}^{(1)} &= j 1000 \cdot 3 \cdot 10^{-3} = j 3 \\ I_{3m}^{(1)} &= \frac{E_{1m}^{(1)}}{R_1 + j X_s^{(1)}} = \frac{6}{3+j3} = 1,41 e^{-j45^\circ} \end{aligned}$$

$$\begin{aligned} U_{abn}^{(1)} &= I_{3m}^{(1)} j X_m^{(1)} - I_{3m}^{(1)} j X_m^{(1)} = -1,41 e^{-j45^\circ} \cdot j 1 = -1,41 e^{j45^\circ} \\ &= 1,41 e^{-j135^\circ} \end{aligned}$$

$$j X_m^{(1)} = j \omega M = j 1000 \cdot 1 \cdot 10^{-3} = j 1$$

$$U_{ab}^{(1)} = 1,41 \cdot \sin(1000t - 135^\circ)$$

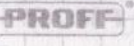


$$j X_{L3}^{(1)} = j 1000 \cdot 3 \cdot 10^{-3} = j 6$$

$$j X_m^{(2)} = j 1000 \cdot 1 \cdot 10^{-3} = j 2$$

$$j = 5 \sin(2000t + 80^\circ) = j 5$$

Замена неак. первое место

а напр. туб. синусы 

При агр. неак. сб-е зл. членов неак. тоже и напр., т.е. сог. норм. синтетических, ядерн. эхив. синус., ректал. злок. син. мока и дист. прип. ректум замедленных или мока и напр., а при сб-е зл. неак. между эхив. син. мока и напр. Оперя их синтезом.

$$\cos \Phi_3 = \frac{P}{U_3 I_3}$$



$$P = \int_{0}^{T} p(t) dt = \int_{0}^{T} U(t) \cdot i(t) dt = \dots = U_0 I_0 + U_1 I_1 \cos \varphi_1 + \\ + U_K I_K \cos \varphi_K +$$

$$\underline{S = UI}$$

Действительное значение при первом неак. мок.

В гену, где фаза при первом неак. агр. злок. мок. норм. не злок. моки гармоники.

Так же реальное, но к-ое выраж. показывает реал. злок. член. при которой мок K-ое не гармонике с C и L собр. но фазе с напрот. На этом же гарм.

Так будем. реал. мок синхр. к норм. реальн., мока или напр. не эл. яз. моки. Ось. синтезом. Синтез, реал. моки синхр. на эл. моки не гармонике в общем, т.е. мока и напр. б-р. Ак. приемом эл. мок гармоник.

## Порядок расчета цепей синусоид. тока символическим методом

1. Перейти от заданной схемы для мгновенных значений к схеме для изображений (комплексных амплитуд или комплексов действующих значений).
2. Применяя законы Кирхгофа в комплексной форме, определить неизвестные комплексы токов и напряжений.

При расчете сложных схем целесообразно использовать методы МКТ, МУП, МН, МЭГ, записывая соответствующие им уравнения в комплексной форме.

3. Схему для изображений можно упрощать

- а) объединяя последовательно соединенные комплексные сопротивления  $Z$  в одно,
- б) заменяя параллельно соединенные комплексные сопротивления  $Z$  одним,
- в) преобразовывая треугольник комплексных сопротивлений  $Z$  в эквивалентную звезду (или наоборот).

При выполнении п.п. а, б, в выполняют те же преобразования, что и при расчете цепей постоянного тока, но только в комплексной форме.

4. Для наглядного представления результатов и в качестве их косвенной проверки рекомендуется построить векторную диаграмму токов и топографическую диаграмму.

5. Проверку полученных результатов целесообразно провести, записав уравнение баланса комплексных мощностей.

6. По найденным комплексным амплитудам или комплексам действующих значений токов или напряжений записать их мгновенные значения, например:

$$i = \operatorname{dm} [i \sqrt{2} e^{j\omega t}] = \operatorname{dm} [I e^{j\psi_i} \sqrt{2} e^{j\omega t}] = I \sqrt{2} \sin(\omega t + \psi_i)$$

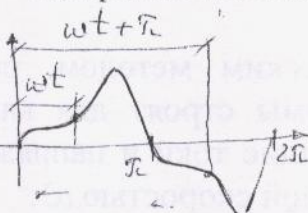
им:  $u = \operatorname{dm} [U_m e^{j\omega t}] = \operatorname{dm} [U_m e^{j\psi_u} e^{j\omega t}] = U_m \sin(\omega t + \psi_u)$

# Разложение в ряд Фурье кривых, обладающих симметрией, и кривых геометрически правильной формы.

В общем случае разложение проводят по формулам (2).

При разложении полезно помнить, что при представлении рядами Фурье

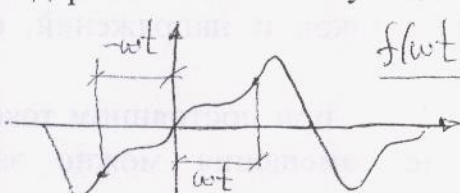
- 1) кривых, симметричных относительно оси абсцисс, результат не будет содержать постоянной составляющей и четных гармоник



$$f(wt) = -f(wt + \pi)$$

$$\begin{aligned} f(wt) &= A_1' \sin wt + A_2'' \cos 2wt + A_3' \sin 3wt + \\ &\quad + A_4'' \cos 4wt + A_5' \sin 5wt + \dots = \\ &= A_1 \sin(wt + \Phi_1) + A_3 \sin(3wt + \Phi_3) + \dots \end{aligned}$$

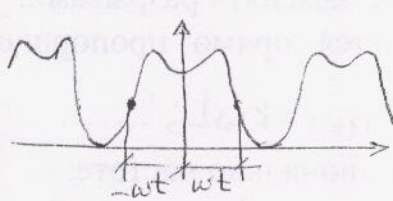
- 2) кривых, симметричных относительно начала координат, результат будет содержать только синусоиды с нулевой начальной фазой



$$f(wt) = -f(-wt)$$

$$\begin{aligned} f(wt) &= A_1' \sin wt + A_2' \sin 2wt + \\ &\quad + A_3' \sin 3wt + A_4' \sin 4wt + \dots \end{aligned}$$

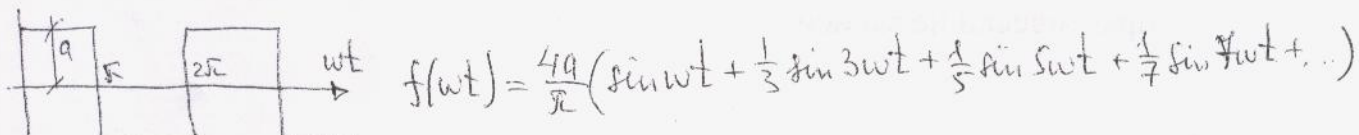
- 3) кривых, симметричных относительно оси ординат, результат будет содержать постоянную составляющую и косинусы.



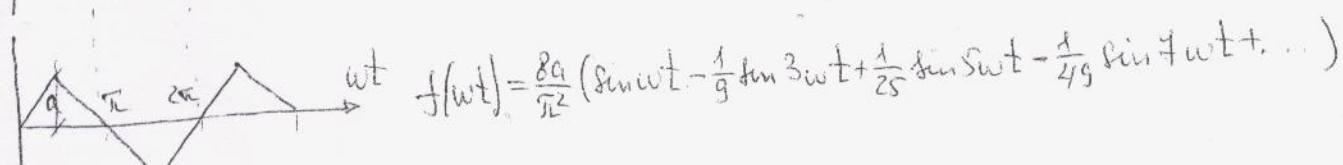
$$f(wt) = f(-wt)$$

$$\begin{aligned} f(wt) &= A_0 + A_1'' \cos wt + A_2'' \cos 2wt + \\ &\quad + A_3'' \cos 3wt + A_4'' \cos 4wt + \dots \end{aligned}$$

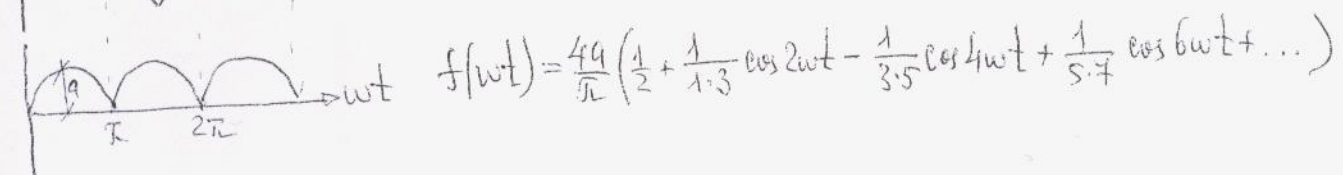
Результаты разложения кривых правильной формы приводятся в специальных справочниках. Например:



$$f(wt) = \frac{4q}{\pi} \left( \sin wt + \frac{1}{3} \sin 3wt + \frac{1}{5} \sin 5wt + \frac{1}{7} \sin 7wt + \dots \right)$$



$$f(wt) = \frac{8q}{\pi^2} \left( \sin wt - \frac{1}{9} \sin 3wt + \frac{1}{25} \sin 5wt - \frac{1}{49} \sin 7wt + \dots \right)$$



$$f(wt) = \frac{4q}{\pi} \left( \frac{1}{2} + \frac{1}{1 \cdot 3} \cos 2wt - \frac{1}{3 \cdot 5} \cos 4wt + \frac{1}{5 \cdot 7} \cos 6wt + \dots \right)$$

и т.д.

С ростом частоты амплитуды соответствующих составляющих ряда Фурье обычно существенно уменьшаются, что позволяет учитывать при проведении расчетов только несколько первых гармоник.

# Расчет электрических цепей с источниками энергии, вырабатывающими сигнал периодической несинусоидальной формы.

## Примерный алгоритм расчета

- Представить сигналы источников рядами Фурье.
- Рассчитать схему, используя принцип наложения.

Каждую из гармоник рассчитывают символическим методом, расчет сопровождают построением ВДТ и ТДН. Диаграммы строят для каждой гармоники отдельно, поскольку вектора, изображающие токи и напряжения на каждой из гармоник, вращаются с различной угловой скоростью  $\omega$ .

### Примечания.

- При расчете постоянных составляющих токов и напряжений, следует помнить, что:

напряжение на индуктивности  $L$   $u_L = L \frac{di}{dt}$  при постоянном токе равно нулю, поэтому индуктивности на схеме замещения можно заменять участками с нулевыми сопротивлениями,

аналогично равен нулю ток  $i_C = C \frac{dU_C}{dt}$  через емкость  $C$  при неизменном напряжении  $U_C$ , поэтому емкости целесообразно заменять разрывами.

- Индуктивное сопротивление  $X_L$  изменяется прямо пропорционально частоте:

$$X_{L(1)} = \omega L; X_{L(2)} = 2\omega L; \dots X_{L(k)} = k\omega L; \dots$$

емкостное сопротивление  $X_C$  – обратно пропорционально частоте:

$$X_{C(1)} = \frac{1}{\omega C}; X_{C(2)} = \frac{1}{2\omega C}; \dots X_{C(k)} = \frac{1}{k\omega C}; \dots$$

- Активное сопротивление  $R$  для не очень больших частот от частоты практически не зависит.